

《高等量子力学》第7讲

6. Feynman 路径积分

1) Schrodinger 绘景中的传播子

将态的时间演化

$$|\psi, t\rangle = e^{-\frac{i}{\hbar}\hat{H}(t-t_0)} |\psi, t_0\rangle$$

进入坐标表象

$$\langle \vec{x} | \psi, t \rangle = \langle \vec{x} | e^{-\frac{i}{\hbar}\hat{H}(t-t_0)} | \psi, t_0 \rangle = \int d^3 \vec{x}_0 \langle \vec{x} | e^{-\frac{i}{\hbar}\hat{H}(t-t_0)} | \vec{x}_0 \rangle \langle \vec{x}_0 | \psi, t_0 \rangle,$$

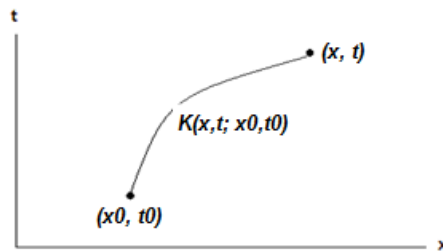
时间演化算符在坐标表象的矩阵元

$$K(\vec{x}, t; \vec{x}_0, t_0) = \langle \vec{x} | e^{-\frac{i}{\hbar}\hat{H}(t-t_0)} | \vec{x}_0 \rangle,$$

有

$$\psi(\vec{x}, t) = \int d^3 \vec{x}_0 K(\vec{x}, t; \vec{x}_0, t_0) \psi(\vec{x}_0, t_0),$$

说明 $K(\vec{x}, t; \vec{x}_0, t_0)$ 是传播子，将时空中的初态波函数 $\psi(\vec{x}_0, t_0)$ 传播到末态波函数 $\psi(\vec{x}, t)$ 。积分意味着初态所有可能的空间位置都对末态有贡献。



由于

$$\begin{aligned} i\hbar \frac{\partial}{\partial t} K(\vec{x}, t; \vec{x}_0, t_0) &= \langle \vec{x} | \hat{H} e^{-\frac{i}{\hbar}\hat{H}(t-t_0)} | \vec{x}_0 \rangle = \int d^3 \vec{x}_1 \langle \vec{x} | \hat{H} | \vec{x}_1 \rangle \langle \vec{x}_1 | e^{-\frac{i}{\hbar}\hat{H}(t-t_0)} | \vec{x}_0 \rangle \\ &= \int d^3 \vec{x}_1 \hat{H}(\vec{x}) \delta(\vec{x} - \vec{x}_1) K(\vec{x}_1, t; \vec{x}_0, t_0) = \hat{H}(\vec{x}) K(\vec{x}, t; \vec{x}_0, t_0) \end{aligned}$$

表明传播子满足 Schrodinger 方程。

注意到

$$\begin{aligned}
 \int d^3\vec{x} K(\vec{x}, t; \vec{x}, 0) &= \int d^3\vec{x} \langle \vec{x} | e^{-\frac{i}{\hbar} \hat{H}t} | \vec{x} \rangle \\
 &= \sum_E \int d^3\vec{x} \langle \vec{x} | E \rangle \langle E | e^{-\frac{i}{\hbar} \hat{H}t} | \vec{x} \rangle \\
 &= \sum_E \int d^3\vec{x} \langle E | x \rangle \langle x | E \rangle e^{-\frac{i}{\hbar} Et} \\
 &= \sum_E e^{-\frac{i}{\hbar} Et} \\
 &\stackrel{it/\hbar \rightarrow 1/T(\text{虚时})}{=} \text{配分函数 } Z = \sum_E e^{-E/T}
 \end{aligned}$$

表明虚时封闭传播子与热力学的关系，提供了用动力学计算热力学的途径。

例 1：求一维自由粒子的传播子

$$\begin{aligned}
 K(x, t; x_0, t_0) &= \langle x | e^{-\frac{i}{\hbar} \hat{H}(t-t_0)} | x_0 \rangle \\
 &= \int dp \langle x | e^{-\frac{i}{\hbar} \hat{H}(t-t_0)} | p \rangle \langle p | x_0 \rangle \\
 &= \int dp \langle x | p \rangle \langle p | x_0 \rangle e^{-\frac{i}{\hbar} \frac{p^2}{2m}(t-t_0)} \\
 &= \frac{1}{2\pi\hbar} \int dp e^{\frac{i}{\hbar} \left[p(x-x_0) - \frac{p^2}{2m}(t-t_0) \right]} \\
 &= \sqrt{\frac{m}{2i\pi\hbar(t-t_0)}} e^{\frac{im(x-x_0)^2}{2\hbar(t-t_0)}}
 \end{aligned}$$

知道了这个传播子，初始时刻的平面波（定态）的时间演化，

$$\psi(x_0, t_0) = \frac{1}{2\pi} e^{\frac{i}{\hbar}(px_0 - Et_0)} = \frac{1}{2\pi} e^{\frac{i}{\hbar} \left(px_0 - \frac{p^2}{2m}t_0 \right)}$$

$$\psi(x, t) = \int dx_0 K(x, t; x_0, t_0) \psi(x_0, t_0)$$

是一个波包。

例 2: 求一维线性谐振子的传播子

$$\begin{aligned}
 K(\vec{x}, t; \vec{x}_0, t_0) &= \langle \vec{x} | e^{-\frac{i}{\hbar} \hat{H}(t-t_0)} | \vec{x}_0 \rangle \\
 &= \sum_n \langle \vec{x} | e^{-\frac{i}{\hbar} \hat{H}(t-t_0)} | n \rangle \langle n | x_0 \rangle \\
 &= \sum_n \psi_n(x) \psi_n^*(x_0) e^{-\frac{i}{\hbar} E_n(t-t_0)},
 \end{aligned}$$

E_n , $\psi_n(x)$ 分别是谐振子的能级和在坐标表象的波函数。

2) Heisenberg 绘景中的跃迁振幅

以上讨论的是 *Schrodinger* 绘景中态的时空演化。传播子

$$\begin{aligned}
 K(\vec{x}, t; \vec{x}_0, t_0) &= \langle \vec{x} | e^{-\frac{i}{\hbar} \hat{H}(t-t_0)} | \vec{x}_0 \rangle \\
 &= \left(\langle \vec{x} | e^{-\frac{i}{\hbar} \hat{H}t} \right) \left(e^{\frac{i}{\hbar} \hat{H}t_0} | \vec{x}_0 \rangle \right) \\
 &= \left(\langle \vec{x}, 0 | U(t, 0) \right) \left(U^\dagger(t_0, 0) | \vec{x}_0, 0 \rangle \right) \\
 &= {}_H \langle \vec{x}, t | \vec{x}_0, t_0 \rangle_H
 \end{aligned}$$

也可以看成是 *Heisenberg* 绘景中 t_0 时的坐标本征态 $|\vec{x}_0, t_0\rangle$ 跃迁到 t 时刻的坐标本征态 $|\vec{x}, t\rangle$ 的振幅, 故 **传播子也是坐标本征态的跃迁振幅**。

由坐标表象的完备性条件(在同一时刻),

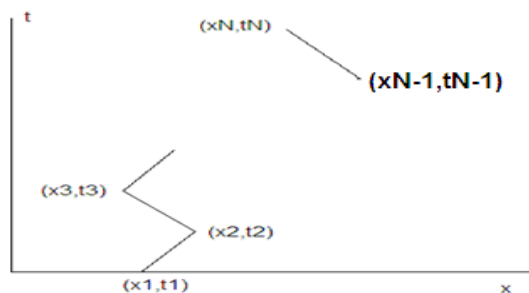
$$\int d^3 \vec{x} |\vec{x}, t\rangle \langle \vec{x}, t| = 1,$$

$$\begin{aligned}
 K(\vec{x}_3, t_3; \vec{x}_1, t_1) &= \langle \vec{x}_3, t_3 | \vec{x}_1, t_1 \rangle \\
 &= \int d^3 \vec{x}_2 \langle \vec{x}_3, t_3 | \vec{x}_2, t_2 \rangle \langle \vec{x}_2, t_2 | \vec{x}_1, t_1 \rangle \\
 &= \int d^3 \vec{x}_2 K(\vec{x}_3, t_3; \vec{x}_2, t_2) K(\vec{x}_2, t_2; \vec{x}_1, t_1), \quad t_3 > t_2 > t_1
 \end{aligned}$$

这是传播子的相乘性，从 (\vec{x}_1, t_1) 传播到 (\vec{x}_3, t_3) 等于从 (\vec{x}_1, t_1) 传播到 (\vec{x}_2, t_2) 再传播到 (\vec{x}_3, t_3) 。

考虑一维情况。将时间间隔 $t_N - t_1$ 进行 N 等分 $dt = \frac{t_N - t_1}{N-1}$ ，

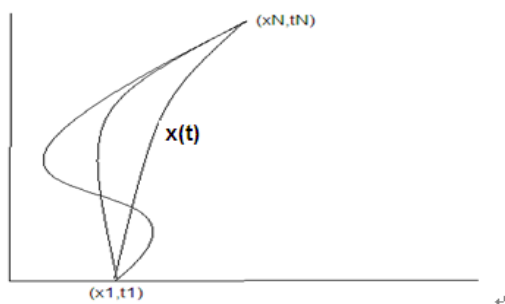
$$K(x_N, t_N; x_1, t_1) = \int dx_{N-1} dx_{N-2} \dots dx_2 K(x_N, t_N; x_{N-1}, t_{N-1}) K(x_{N-1}, t_{N-1}; x_{N-2}, t_{N-2}) \dots K(x_2, t_2; x_1, t_1),$$



当 $N \rightarrow \infty$ 时，即 $dt \rightarrow 0$ 时，多重积分转变成对路径的求和，表明量子力学中所有路径都对时空演化有贡献，

$$K(x_N, t_N; x_1, t_1) = \int_{x_1}^{x_N} [dx(t)] P[x(t)] ,$$

其中 $P[x(t)]$ 是取路径为 $x(t)$ 的几率幅。



注意，经典力学中的时空演化只有一条唯一的路径，由最小作用量确定。例如，对于高度为 h ，重力加速度为 g 的自由落体运动，唯一的路径就是

$$x(t) = h - \frac{1}{2} gt^2 .$$

3) Feynman 路径积分量子化

设粒子从 (x_1, t_1) 运动到 (x_N, t_N) 的任意一条路径 $x(t)$ 的几率幅是

$$P[x(t)] = ce^{\frac{i}{\hbar}S[x(t)]}, \quad S[x(t)] = \int_{t_1}^{t_N} L_c(x, \dot{x})dt, \quad L_c = \frac{1}{2}m\dot{x}^2 - V(\vec{x}),$$

粒子从 (x_1, t_1) 跃迁到 (x_N, t_N) 的跃迁振幅是

$$K(x_N, t_N; x_1, t_1) = c \int_{x_1}^{x_N} [dx(t)] e^{\frac{i}{\hbar}S[x(t)]}.$$

如果将路径积分还原成多重积分形式, 令 $dt = \frac{t_N - t_1}{N-1}$,

$$K(x_N, t_N; x_1, t_1) = c \lim_{N \rightarrow \infty} \int dx_{N-1} dx_{N-2} \dots dx_2 e^{\frac{i}{\hbar} \sum_{n=2}^N L_c(x_n, \dot{x}_n) dt}.$$

当 L_c 是 x 的二次型时, 路径积分为高斯型, 严格可积。比如自由粒子

$$L_c = \frac{1}{2}m\dot{x}^2,$$

$$L_c(x_n, \dot{x}_n)dt = \frac{1}{2}m \left(\frac{x_n - x_{n-1}}{dt} \right)^2 dt = \frac{m}{2dt} (x_n - x_{n-1})^2$$

$$K(x_N, t_N; x_1, t_1) = c \lim_{N \rightarrow \infty} \int dx_{N-1} dx_{N-2} \dots dx_2 e^{\frac{im}{2\hbar dt} \sum_{n=2}^N (x_n - x_{n-1})^2} = ce^{\frac{im(x_N - x_1)^2}{2\hbar(t_N - t_1)}}$$

由坐标本征态的等时正交归一化条件

$$\langle x_N, t_1 | x_1, t_1 \rangle = K(x_N, t_1; x_1, t_1) = \delta(x_N - x_1),$$

$$K(x_N, t_N; x_1, t_1) = \sqrt{\frac{m}{2i\pi\hbar(t_N - t_1)}} e^{\frac{im(x_N - x_1)^2}{2\hbar(t_N - t_1)}},$$

与在 *Schrodinger* 绘景的计算结果一样。

再比如谐振子,

$$L_c = \frac{1}{2} m \dot{x}^2 + \frac{1}{2} m \omega^2 x^2,$$

高斯积分后，有

$$K(x_N, t_N; x_1, t_1) = \sqrt{\frac{m\omega}{2i\pi\hbar \sin[\omega(t_N - t_1)]}} e^{\frac{i m \omega}{2\hbar \sin[\omega(t_N - t_1)]} [(x_1^2 + x_N^2) \cos[\omega(t_N - t_1)] - 2x_1 x_N]}.$$

4) 讨论:

(1) 每条路径贡献的相因子 $e^{\frac{i}{\hbar} S[x(t)]}$ 都不同。对于经典体系，经典路径对应的最小作用量 S_{cl} 远比 \hbar 大，那么经典路径周围的其它路径的作用量更大，其贡献会随路径而剧烈振荡，以致相互抵销，只留下最小作用量的贡献。

(2) 只有高斯型路径积分是可积的。

(3) $K(\vec{x}, t; \vec{x}_0, t_0)$ 的不同解释：是 **Schroedinger** 绘景中（量子）波函数的传播子，是 **Heisenberg** 绘景中（量子）坐标本征态的跃迁几率幅，是 **Feynman** 路径积分中（经典）粒子运动路径的几率幅。

(4) 路径积分量子化是经典力学的自然推广，容易理解，不用引入算符等 **Q** 数，完全在 **C** 数范围内计算。但是路径积分在非相对论量子力学中处理问题较麻烦，而在规范场论中有重要作用。

7. 规范变换

1) 常数势差导致的量子相干性

经典力学中， $\vec{F} = -\nabla V(\vec{x})$ ，将势加上一个与空间无关的常数后不带来任何效用。在量子力学中，设粒子在势场 V_1 中运动，初态 $|\alpha, t_0\rangle$ 的演化为

$$|\alpha, t\rangle_1 = e^{-\frac{i}{\hbar} \hat{H}_1(t-t_0)} |\alpha, t_0\rangle,$$

如果粒子在势场 $V_2(t) = V_1 + \Delta V(t)$ 中运动，初态 $|\alpha, t_0\rangle$ 的演化为

$$|\alpha, t\rangle_2 = e^{-\frac{i}{\hbar}\hat{H}_1(t-t_0)} e^{-\frac{i}{\hbar}\int_{t_0}^t dt' \Delta V(t')} |\alpha, t_0\rangle = e^{-\frac{i}{\hbar}\int_{t_0}^t dt' \Delta V(t')} |\alpha, t\rangle_1$$

两个态之间的差别是一个相因子 $e^{i(\varphi_2 - \varphi_1)}$ ，

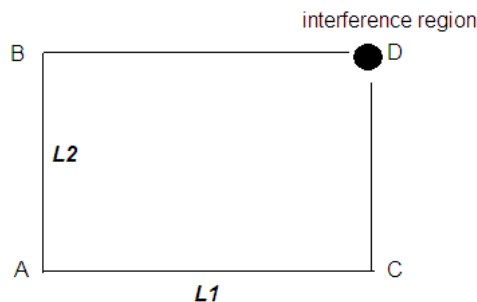
$$\varphi_2 - \varphi_1 = -\frac{1}{\hbar} \int_{t_0}^t dt' \Delta V(t') \xrightarrow{\text{时间常数势差}} -\frac{1}{\hbar} \Delta V(t-t_0)$$

似乎不带来可测量性结果。但如果考虑这两个波函数 $|\alpha, t_1\rangle$ 和 $|\alpha, t_2\rangle$ 的相干，相位差 $(\varphi_2 - \varphi_1)$ 会导致相干项 $\cos(\varphi_2 - \varphi_1)$ ，产生可观测性。

2) 重力势差导致的量子相干性

考虑热中子（不带电）在重力场中的运动。金属框 ABCD 平行于地面。在 A 处把中子分成两束，一束经 AC 和 CD 到达点 D，另一束经 AB 和 BD 到达点 D。由于中子在两条路径上感受到的重力势相同，在 D 处无相干现象。但是，如果以 AC 为轴将框向上转一角度 δ ，则粒子在 BD 部分相比 AC 部分有一常数势差

$$\Delta V = mgl_2 \sin \delta$$



虽然粒子在 AB 和 CD 部分相比于 AC 部分也有势差，而且与空间位置有关，但对两条路径有相同的势差，对相位差无贡献。设粒子从 B 到 D 的时间是 T，则粒子经过两条路径的势差导致在 D 处产生相位差

$$\varphi_{ABD} - \varphi_{ACD} = -\frac{m}{\hbar} g l_2 T \sin \delta,$$

由于 $T = l_1 / v$, v 是粒子 (波包) 速度, $mv = p = \hbar / \lambda$, λ 是中子的 de Broglie 波长, $T = l_1 m \lambda / \hbar$,

$$\varphi_{ABD} - \varphi_{ACD} = -\left(\frac{m}{\hbar}\right)^2 g l_1 l_2 \lambda \sin \delta.$$

当角度 δ 变化时, 相干项 $\cos(\varphi_{ABD} - \varphi_{ACD})$ 会随之产生振荡。实验确实发现了这种振荡, 见书中图 2.6。

以上讨论表明, **空间均匀的势差虽然不改变力, 但导致量子相干效应。**